

京都大学 工学部 正会員 住友 恒
 同上 学生員 松岡 譲
 鹿島建設 剣谷 健彦

1. はじめに

従来、河川合流部における水質混合現象については、その水理構造の複雑性のため、確かな理論は提唱されていない。横方向拡散係数を基本的なパラメータとする従前の研究は現象の記述という点にその進歩があらわしてきた。ミニマニマニゼは水質混合の構造解析という立場から、乱れ測定にもとづきこの横方向拡散モデルの評価を試みたものである。¹⁾ 実験水路でのやや理想条件下での乱れ計測に関する検討は別途試みてあるが、²⁾ 以下では実河川における具体的な検討を中心となる。

2. 基礎式による考察

河川における汚染物の混合に関する基礎式としては一般的に次式が採用されることが多い。

$$\frac{\partial \bar{C}}{\partial t} + \frac{\partial (\bar{U}\bar{C})}{\partial x} = \frac{\partial}{\partial y} \left(\epsilon_y \frac{\partial \bar{C}}{\partial y} \right) \quad (1)$$

ここで、上ツキバー記号は時間的平均、 x は流下方向、 y は横方向、 ϵ_y は横方向拡散係数を表す。

このように単純化しきるには複雑な水質混合要因を主として ϵ_y に集約して表現したためであり、この適用に当たってはその物理的意義について十分慎重でなければならない。また、一方、より水質混合構造に則りて表現としては、乱流理論から式(2)をとる。³⁾ ここでダッシュ記号は時間的変動量を表す。

$$\frac{\partial \bar{C}}{\partial t} + \frac{\partial}{\partial x} (\bar{U}\bar{C} - \bar{U}'\bar{C}') = \frac{\partial}{\partial y} (\bar{U}'\bar{C}') \quad (2)$$

式(1), (2)を直結比較するためには、つきの2点に留意する必要がある。

$$1) \frac{\bar{U}\bar{C}}{\bar{U}'\bar{C}'} \gg 1.0 \quad , \quad 2) \epsilon_y \frac{\partial \bar{C}}{\partial y} \Big|_{(1) \text{の直結評価}} = \bar{U}'\bar{C}' \Big|_{(2) \text{の直結評価}}$$

したがって、ここで実河川合流部にいがなる式を用いるのがより好都合と検討しつつ、ここでの混合構造に考察を進めるのが主目的であるから、具体的には上記1), 2) の比車支検討を重視すればよい。

3. 実測検証

河川合流部における上記目的を検証するため、以下のようなく実測を行なった。実測河川としては京都市内の桂川・鴨川合流点で、その概況は図-1に示す。流速は加ロやラ式光電型流速計により、水質は電導度計で連続測定し、自己記録した。実測は図-1にも示す2断面で行ない、それと水平平均流速 \bar{U} 、平均濃度 \bar{C} 、乱れ濃度 \bar{C}'^2 、乱流水質輸送量 $\bar{U}'\bar{C}'$ およびからのスペクトルを求めた。合流点から流下するにしたがって、両川水質の性状が境界混合によつて失なゆくことがある。(図-2, 図-3参照)。

3-1. これらの実測結果をもとに上述1), 2)について以下検討を加えよ。図-2, 図-3に示す実測値から $\bar{U}\bar{C}/\bar{U}'\bar{C}'$ を求めると、上流境界付近ではほぼ1.4、下流ではほぼ 1.7×10^2 の値を得る。したがつて、1)の仮定は下流断面のように比較的等方性に近い場においてのみ成立し、上流断面のように濃度および速度勾配の大きい場では成立しないことを指摘する。すなはち、せかげ上水質は水速度(流速)と違う、固有の移動速度をもつことがある。

3-2. つきに(2)について考えよ。式(1)の ϵ_y の評価は別途式(1)の差分式から数値計算により、 $\epsilon_y = 10 \text{ cm}^2/\text{sec}$ と求められ⁴⁾いる。図-4に実測値との比較を示す。厳密には多くの問題を残すが、この値が図-2, 図-3の測定時に適用しうるものとして、 $\epsilon_y \frac{dc}{dy}$ を求めれば、上流側に22 ppm/cm/sec程度、下流側にあつては

$8 \cdot 1 \text{ ppm} \cdot \text{cm/sec}$ 程度となり、 $\bar{U}C$ をほぼ $\bar{U}C$ が "ほぼ" 同じ程度と仮定すれば、 $\bar{U}C/\bar{C}$ は、上流側で $1/2$ 程度、下流側で $1 \sim 15$ 程度となる。境界面付近で 1 に近い値を取るが、これはこの付近では、純流拡散に近いことを示している。

4. 河川合流部における水質混合に関する解析：

上記、3にむける検討方法は、あまりおこなわれていない $\bar{U}C$ の直接計測を新たに実施した結果、はじめて可能となった興味深い一つの解析と考える。その結果、すでに3-1, 3-2にも指摘しているように、本対象河川合流点では、合流直後にて、流れ方向にも乱れ成分 $\bar{U}C$ が大きく、また式(1)の拡散項はほぼ純流拡散とみなしうる。

一方、下流に進むにつれ(約 50m 位)、式(2)での移流項が卓越し、境界面以外については、純流拡散以外の分散効果を包含してくる。さらに言及すれば、河川合流点以下における水質解析では、合流点附近および境界面に沿う流れの時は、純流拡散係数 ϵ_y を用いて、式(1)を活用すればよいことがわかる。しかし、 50m も下流にすすみ、境界面からやや離れた点での水質挙動を解析するにあたっては、純流拡散係数 ϵ_y 以外の C 、あるいは、せん断効果を考慮してゆく必要がある。また、このことは、一般河川における水質混合機構についても、ある程度の示唆を与える。

おわりに、本研究は、末石昌太郎教授の指導をえたものである。また、 ϵ_y の決定については、大阪市・山田豊実氏、ならびに、東京ガス・吉越豆氏の協力を得た。ここに感謝の意を表す。

〔参考文献〕(1) 南部昇一(1958)土木学会論文集59 (2) 末石・佐友・松岡(1973)第28回年講(3) 松岡謙(1973)京都大学卒業論文(4) 刈谷健彦(1972)京都大学卒業論文

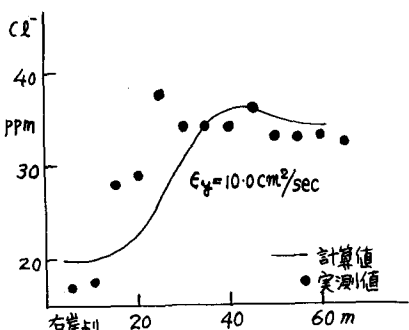


図-4

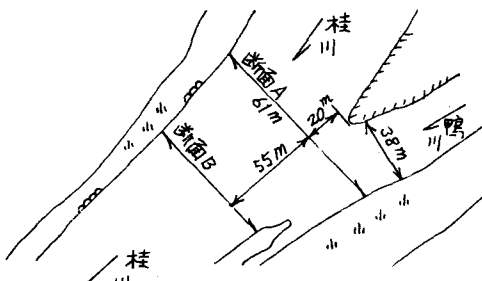


図-1

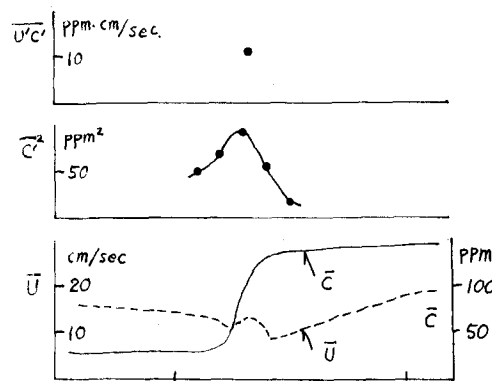


図-2 (断面 A)

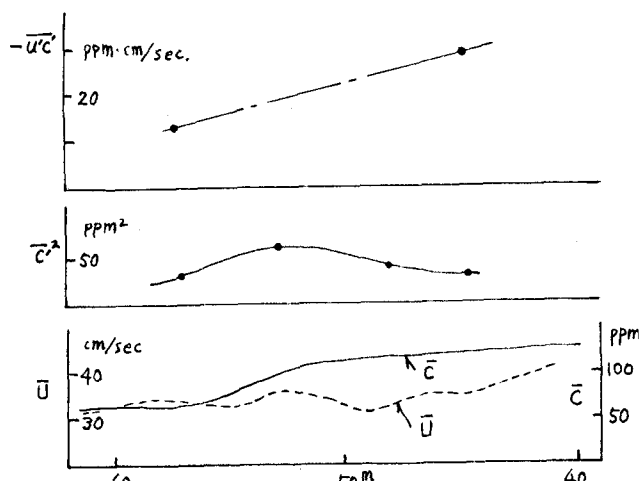


図-3 (断面 B)